

## 北京邮电大学 2010 年硕士研究生入学考试试题

## 考试科目：803 信息与通信工程专业综合

## 第一部分 信号与系统(60 分)

## 一、填空题(本大题共 10 个空, 每空 2 分共 20 分)

1. 请判断下列说法是否正确, 正确的打√, 错误的打×。

- (a) 功率信号, 一定是周期信号\_\_\_\_\_; (b) 时域满足绝对可积条件的信号, 其频域一定是连续频谱\_\_\_\_\_;  
(c) 一个频域受限的信号, 其时域必为无限信号\_\_\_\_\_。

2. 设  $f(t)$  的频谱函数为  $F(j\omega)$ , 则  $f\left(-\frac{t}{2}+3\right)$  的频谱函数等于\_\_\_\_\_。

3. 已知  $u(t)$  为单位阶跃信号, 信号  $f(t) = \int_0^{+\infty} \lambda u(t-\lambda) d\lambda$  的单边拉普拉斯变换为\_\_\_\_\_。

4. 已知系统函数  $H(s) = \frac{1}{s+1}$ , 若输入信号  $x(t) = \sin(t)u(t)$ , 其系统稳态响应  $y(t)$  为\_\_\_\_\_。

5. 能量有限信号的帕赛瓦尔方程是\_\_\_\_\_。

6. 已知某周期信号指数形式傅立叶级数为  $\sum_{n=-\infty}^{+\infty} e^{jn\pi t}$ , 该周期信号是\_\_\_\_\_。

7. 设  $f(t)$  为一有限频宽信号, 频带宽度为  $B\text{Hz}$ , 试求  $f(0.25t)$  的奈奎斯特抽样率  $f_H =$ \_\_\_\_\_  $\text{Hz}$  和奈奎斯特抽样间隔  $T_N =$ \_\_\_\_\_  $s$ 。

## 二、画图题(本大题共 2 小题, 每小题 10 分共 20 分)

(1) 已知信号  $f(t)$  的幅度谱如图 2-1 所示, 大致画出  $f(t)$  经周期方脉冲(脉宽  $\tau = 0.2$ , 周期  $T_s = 0.4$ ) 抽样后的幅度频谱, 并注明关键点坐标。

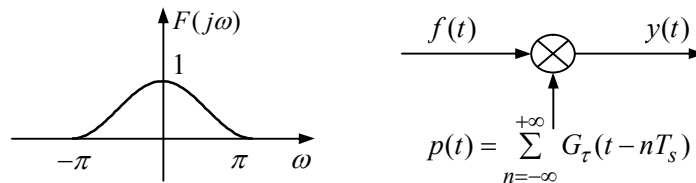


图 2-1

(2) 已知离散时间系统的单位样值响应  $h(n) = (0.4)^n u(n)$ , 试求系统的频率响应, 并作出其幅频特性曲线,  $\omega$  取  $(0, 2\pi)$ , 判断此系统具有何种滤波器作用。

## 三、计算题(本大题共 2 小题, 每题 10 分共 20 分)

(1) 已知图 3-1(a) 系统输入  $f(t)$  的频谱函数  $F(j\omega)$  如图 3-1(b) 所示, 子系统频率响应  $H(j\omega) = j \operatorname{sgn}(\omega)$ , 求系统的输出  $y(t)$ 。

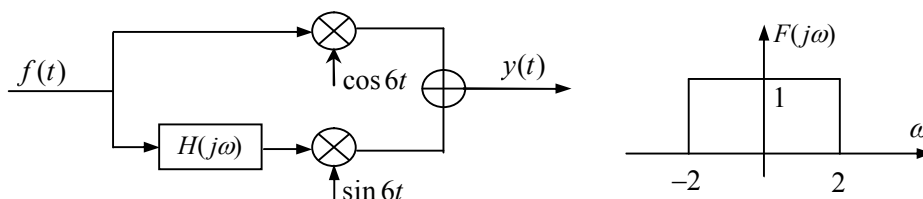


图 3-1(a)

图 3-1(b)

(2) 某系统函数  $H(s) = \frac{1}{s^2 + 3s + 2}$ , 若输入  $x(t) = u(t)$ , 求出系统的零状态响应  $y(t)$ 。

**第二部分 通信原理(90 分)**

**四、(12 分)**

- (1) 已知模拟基带信号  $m(t)$  是均值为 0，方差为  $\sigma^2$  的平稳高斯过程，其 AM 信号表达式为  $s_{AM}(t) = A_c[1 + m(t)]\cos 2\pi f_c t$ 。接收端用包络检波器进行非相干解调。若要求过调制发生的概率不超过  $p$ ，求  $\sigma$  的最大值。
- (2) 在图 4-1 中， $m_1(t)$  和  $m_2(t)$  分别是视频及音频信号，对应的频谱  $M_1(f)$  和  $M_2(f)$  示于图 4-2，图中还示出了 VSB 滤波器的传递函数  $H(f)$ 。已知  $f_1 = 100\text{MHz}$ ， $f_2 - f_1 = 6.5\text{MHz}$ ， $M_1(f)$  中包含一个足够大的直流分量。

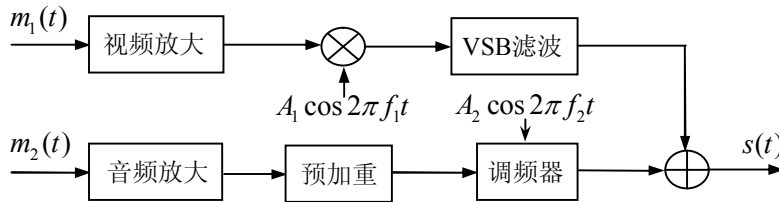


图 4-1

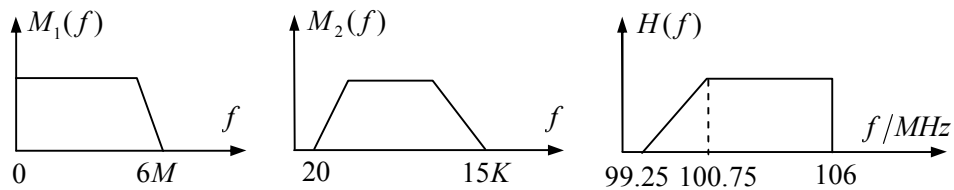


图 4-2

- (a) 请画出发送信号  $s(t)$  的振幅频谱示意图(标上频率坐标)；
- (b) 请画出接收端恢复  $m_1(t)$ ， $m_2(t)$  的接收框图(要求非相干解调)。

**五、(20 分)**

- (1) 图 5-1 中的  $\{a_n\}$  是取值  $\{\pm 1\}$  的独立等概序列， $H(f)$  所对应的冲击响应  $h(t)$  见图 5-2。

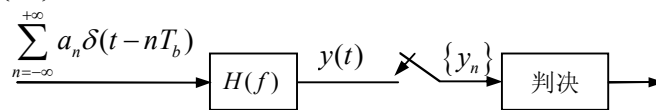


图 5-1

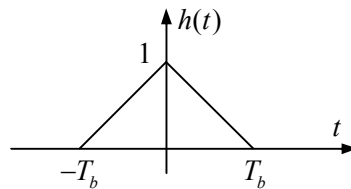


图 5-2

- (a) 写出  $y(t)$  的表达式及其功率谱密度  $P_y(f)$ ；
- (b) 设码元  $a_n$  对应的采样时刻是  $nT_b + t_0$ ， $0 \leq t_0 \leq T_b$ 。 $t_0$  为何值时，采样结果  $y_n = y(nT_b + t_0)$  中无码间干扰；
- (c) 令  $\bar{H}(f) = \sum_{k=-\infty}^{+\infty} H\left(f - \frac{k}{T_b}\right)$ ，求  $\frac{d\bar{H}(f)}{df}$ 。
- (d) 若  $t_0 = 0.1T_b$ ，写出采样值  $y_n$  的表达式，写出其中码间干扰的各种可能取值及其相应的出现概率。
- (2) 图 5-3 示出两个正交的信号  $s_1(t)$  和  $s_2(t)$ 。等概发送某个  $s_i(t)$ ， $i = 1, 2$ ，在信道传输中受到加性高斯白噪声  $n_w(t)$  的干扰，如图 5-4 所示。
- (a) 若用匹配滤波器作为最佳解调方案，请画出完整的最佳接收框图，并画出匹配滤波器的冲击响应(写上坐

标)；

(b) 若发送  $s_2(t)$ ，请详细推导错判概率  $p(e|s_2)$  的表达式。

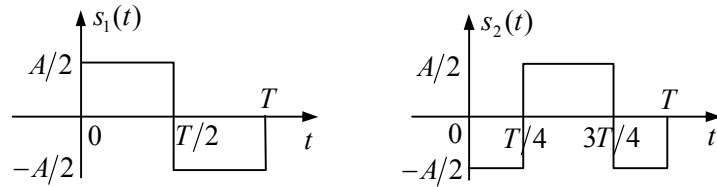


图 5-3



图 5-4

六、(12分)

一个矩形星座 QAM 信号的产生框图如图 6-1 所示。图中  $\{a_n\}$  是取值于  $\{\pm 1\}$  的独立等概序列，速率为 16Mbps， $b_{c,k}, b_{s,k}$  取值  $\{-3, -1, +1, +3\}$ ，脉冲成型采用幅度为 1 的矩形脉冲，持续时间等于码元间隔  $T_s$ ，载频  $f_c = 100\text{MHz}$ 。

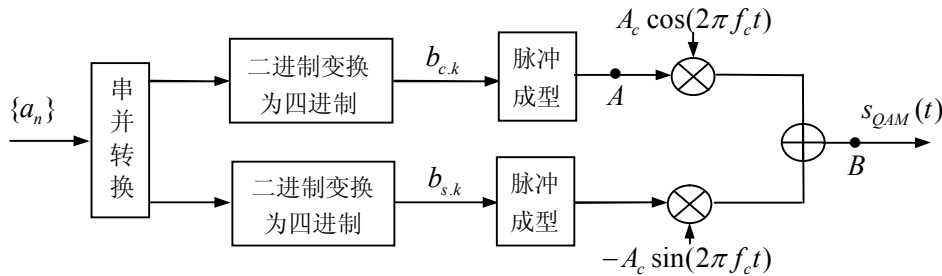


图 6-1

- (1) 请画出该 QAM 信号的星座图。
- (2) 请写出图 6-1 中 A 点及 B 点的功率谱密度表达式，并画图(标上频率坐标值)。
- (3) 此 QAM 信号在 AWGN 信道下的最佳接收框图如图 6-2 所示，图中接收信号  $r(t) = s_k(t) + n_w(t)$ ， $s_k(t)$  是星座图上的第 k 个星座点  $s_k = (b_{c,k}, b_{s,k})$  对应的发送信号， $n_w(t)$  是高斯白噪声。

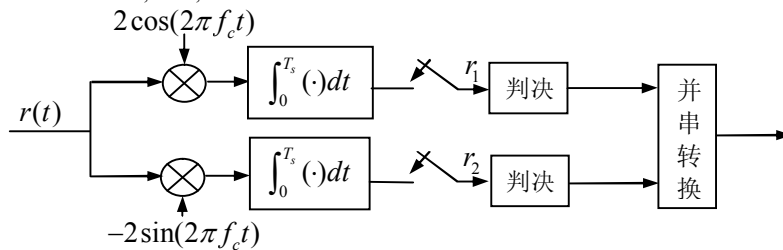


图 6-2

- (a) 请推导出发送  $s_k = (b_{c,k}, b_{s,k})$  条件下，接收向量  $r = (r_1, r_2)$  的表达式，求出每个分量  $r_1, r_2$  在发送  $s_k$  条件下的均值及方差；
- (b) 请在  $r$  所在平面上，画出星座点  $s_1 = (+1, +1)$  所对应的判决域；
- (c) 请推导出发送  $s_1 = (+1, +1)$  条件下的判决错误概率  $p(e|s_1)$  公式。

七、(10分)

(1) 设独立平稳序列  $\{a_n\}$  是计算机输出的指令序列，每个指令  $a_n$  有 4 种不同，可由码字 00, 01, 10, 11 分别表示，对应的出现概率分别是 0.4, 0.25, 0.25, 0.1。

- (a) 若对  $\{a_n\}$  采用最佳理想信源编码, 请计算编码后平均每条指令所对应的编码长度(比特/指令);
- (b) 若对每个  $a_n$  逐一进行哈夫曼编码, 请写出编码结果, 并求出编码后平均每条指令所对应的编码长度(比特/指令);

(2) 图 7-1 中有两个最高频率都是  $f_H$  的模拟基带信号  $m_1(t)$  和  $m_2(t)$ , 他们的取值都在  $[-A_m, A_m]$  内均匀分布。在每个采样间隔  $T_s$  内, 每个 PCM 编码器对各自的模拟基带信号进行采样, 然后将这个样值均匀量化, 并编为二进制码字, 于此同时, 在每个采样间隔  $T_s$  内, 同步脉冲也会产生 1 比特同步信息。这些数据经过时分复用后进行 QPSK 调制传输, QPSK 调制采用了滚降因子为  $\alpha = 0.5$  的升余弦频谱成型, 信道带宽是 90KHz。若要求 PCM 的量化信噪比为 42dB, 请求出每路模拟信号的最高频率  $f_H$  值。

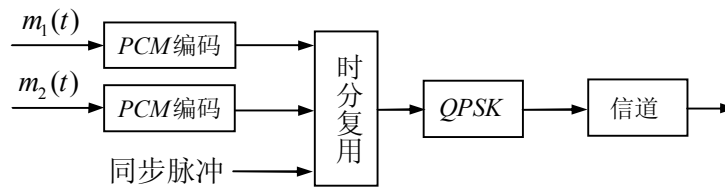


图 7-1

八、(10 分)

对于图 8-1 所示的二进制对称信道, 令  $P(0)$  和  $P(1)$  分别表示发送二进制符号“0”和“1”的概率。已知信道的转移概率  $P(Y=1|X=0) = P(Y=0|X=1) = p$ 。

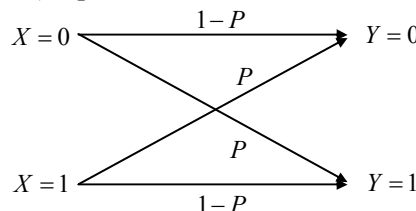


图 8-1

- (1) 请推导出信道输出  $Y$  的熵表达式;
- (2) 请推导出条件熵  $H(Y|X)$  的表达式;
- (3) 若  $P(0) = P(1)$ , 求互信息  $I(X;Y)$ 。

九、(15 分)

(1) 已知某 (7,4) 线性分组码的生成矩阵为

$$G = \begin{pmatrix} 1 & 1 & 1 & 0 & 1 & 0 & 0 \\ 1 & 0 & 0 & 0 & 1 & 1 & 0 \\ 0 & 0 & 1 & 0 & 1 & 0 & 1 \\ 1 & 0 & 1 & 1 & 0 & 0 & 0 \end{pmatrix}$$

- (a) 将  $G$  转化成为系统形式(要求: 只能行变换, 信息位在左)。
- (b) 写出对应的典型监督矩阵  $H$ 。
- (c) 求接收向量  $r = (1 \ 1 \ 0 \ 1 \ 0 \ 1 \ 1)$  的伴随式、可纠正的错误图案、译码结果。

(2) 有一 (15,11) 循环码, 其生成多项式  $g(x) = x^4 + x + 1$ 。若输入的信息分组为  $u = (10010010010)$ , 请写出对应的系统码编码结果。

(3) 图 9-1 是某卷积码的网格图, 图中圆圈中的数字代表卷积码的状态, 带箭头的实线和虚线分别代表编码器输入为 0 和 1 时的状态转移, 其旁边的数字代表对应的编码器输出(图中未全部标出)。请画出该卷积码的

原理框图。

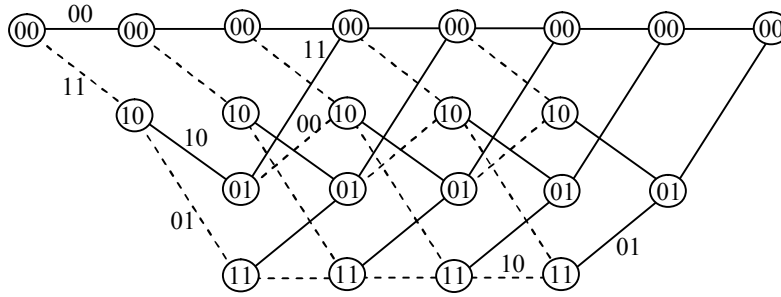


图 9-1

十、(11 分)

(1) 一个四级线性反馈移位寄存器如图 10-1 所示，寄存器的初始状态为  $\{a_3 a_2 a_1 a_0\} = \{0001\}$ 。

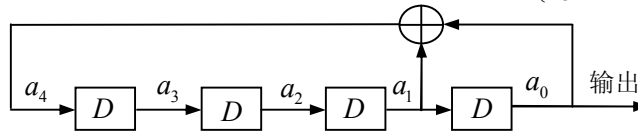


图 10-1

(a) 请写出此  $m$  序列的特征多项式；

(b) 请写出移位寄存器的输出序列  $(a_0 a_1 \dots)$ ；

(2) 在图 9-2 所示的二进制直接序列扩频通信系统中， $d(t) = \sum_{k=-\infty}^{+\infty} d_k g(t - kT_b)$  是速率为  $R_b = 1/T_b$  的双极性不归零信号， $d_k$  是以独立等概方式取值于  $\{\pm 1\}$  的数据序列； $g(t)$  在  $[0, T_b]$  内取值为 1，此外为 0。  
 $c(t) = \sum_{n=-\infty}^{+\infty} c_n g_c(t - nT_c)$  是幅度为  $\pm 1$  的扩频信号，它是由  $m$  序列  $\{c_n\}$  作为扩频码形成的双极性不归零信号，码片成形脉冲  $g_c(t)$  是幅度为 1，持续时间为  $T_c = T_b/N$  的矩形脉冲。

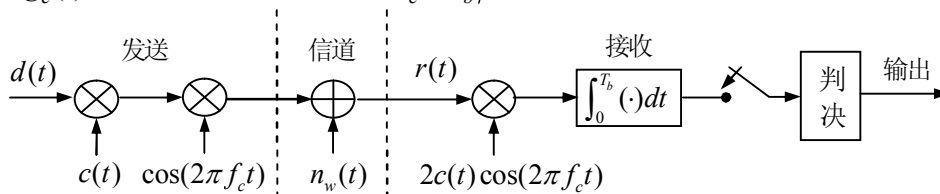


图 10-2

(a) 考虑在区间  $[0, T_b]$  内发送的符号  $d_0$ ，请推导出相关器输出的抽样值  $y$  中的信号功率与噪声功率之比；

(b) 当  $c(t) = 1$  时，图中系统退化为普通的非扩频 BPSK 系统，请推导出此时相关器输出  $y$  中的信噪比。

附录：

AWGN 表示加性高斯白噪声， $n_w(t)$  表示双边功率谱密度为  $N_0/2$  的加性高斯白噪声

$T_b$  表示比特间隔； $T_s$  表示符号间隔或者采样间隔； $T_c$  表示码片间隔

$$\operatorname{erfc}(x) = \frac{2}{\sqrt{\pi}} \int_x^{\infty} e^{-t^2} dt, \text{ 其反函数为 } \operatorname{erfc}^{-1}(z)$$

$\operatorname{sgn}(x)$  表示符号函数

$$\log_2 10 \approx \frac{1}{0.3}, \log_{10} 2 \approx 0.3$$

$$\operatorname{Sa}(x) = \frac{\sin x}{x}, \operatorname{sinc}(x) = \frac{\sin \pi x}{\pi x}$$

## 北京邮电大学 2010 年 803 试题参考答案

(本参考答案由雪山灰虎整理, 发布于 2011 年 11 月 24 日。答案中可能存在小问题, 将不定期勘误及发布更新, 请注意灰虎网 www.bytxyl.cn 查看是否有更晚发布的版本。)

一、

$$1、(1) \times; (2) \checkmark; (3) \checkmark \quad 2、2F(-2\omega)e^{j-6\omega} \quad 3、1/s^3 \quad 4、y(t) = \frac{1}{\sqrt{2}} \sin(t-45^\circ)u(t)$$

$$5、E = \int_{-\infty}^{\infty} |h(t)|^2 dt = \frac{1}{2\pi} \int_{-\infty}^{\infty} |F(\omega)|^2 d\omega \text{ 或 } E = \int_{-\infty}^{\infty} |h(t)|^2 dt = \int_{-\infty}^{\infty} |F(f)|^2 df \quad 6、\sum_{n=-\infty}^{+\infty} e^{jn\pi t} = 2 \sum_{n=-\infty}^{+\infty} \delta(t-2n)$$

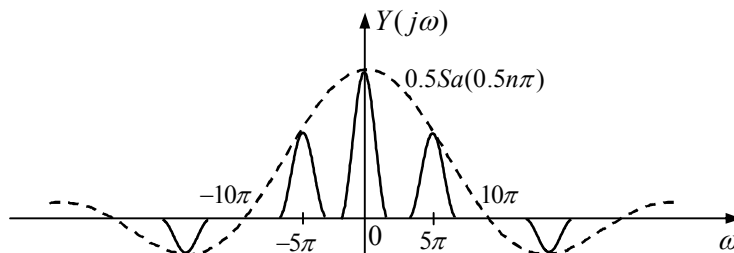
$$7、B/2 \text{ Hz}, 2/B \text{ s}。$$

二、

$$(1) Y(\omega) = \frac{1}{2\pi} F(\omega) * P(\omega) = \frac{1}{2\pi} F(\omega) * 2\pi \sum_{n=-\infty}^{+\infty} P_n \delta(\omega - n\omega_1) = \sum_{n=-\infty}^{+\infty} P_n F(\omega - n\omega_1)$$

$$\text{其中 } P_n = \frac{1}{T_s} G(\omega) \Big|_{\omega=n\omega_1} = 0.5 \text{Sa}(0.1n\omega_1), \quad \omega_1 = \frac{2\pi}{T_s} = 5\pi$$

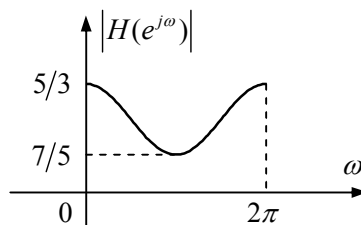
$$\therefore Y(\omega) = \sum_{n=-\infty}^{+\infty} 0.5 \text{Sa}(0.1n\omega_1) F(\omega - n\omega_1) = \sum_{n=-\infty}^{+\infty} 0.5 \text{Sa}(0.5n\pi) F(\omega - 5n\pi)$$



$$(2) H(z) = \frac{z}{z-0.4}, \quad |z| > 0.4, \quad H(\omega) = \frac{e^{j\omega}}{e^{j\omega} - 0.4} = \frac{1}{(1-0.4\cos\omega) + j0.4\sin\omega}$$

$$|H(\omega)| = \frac{1}{\sqrt{1.16 - 0.8\cos\omega}}, \quad |H(0)| = \frac{1}{\sqrt{1.16 - 0.8}} = \frac{5}{3}, \quad |H(\pi)| = \frac{1}{\sqrt{1.16 + 0.8}} = \frac{7}{5}$$

系统函数的图形如下所示, 易知为低通滤波器特性。



三、

$$(1) y(t) = f(t)\cos 6t + [f(t) * h(t)]\sin 6t, \quad Y(j\omega) = [u(\omega+8) - u(\omega+6)] + [u(\omega-6) - u(\omega-8)]$$

$$y(t) = \frac{1}{2\pi} \int_{-\infty}^{+\infty} Y(\omega) e^{j\omega t} d\omega = \frac{1}{2\pi} \left[ \int_{-8}^{-6} e^{j\omega t} d\omega + \int_6^8 e^{j\omega t} d\omega \right] = \frac{1}{j2\pi t} e^{j\omega t} \Big|_{-8}^{-6} + \frac{1}{j2\pi t} e^{j\omega t} \Big|_6^8$$

$$= \frac{1}{j2\pi t} \left[ e^{-j6t} - e^{-j8t} + e^{j8t} - e^{j6t} \right] = \frac{1}{j2\pi t} [2j \sin 8t - 2j \sin 6t] = \frac{2}{\pi t} \cos 7t \sin t = \frac{2}{\pi} \text{Sa}(t) \cos 7t$$

$$\text{或者 } Y(j\omega) = G_2(\omega+7) + G_2(\omega-7) = 2 \times \frac{1}{2\pi} G_2(\omega) * \pi [\delta(\omega+7) + \delta(\omega-7)]$$

$$\therefore \frac{1}{\pi} G_2(t) \Leftrightarrow \frac{2}{\pi} \text{Sa}(\omega), \quad \text{由对称性 } \frac{2}{\pi} \text{Sa}(t) \Leftrightarrow 2\pi \times \frac{1}{\pi} G_2(-\omega) = 2G_2(\omega), \quad \text{即 } \frac{1}{\pi} \text{Sa}(t) \Leftrightarrow G_2(\omega)$$

$$\therefore y(t) = \frac{2}{\pi} Sa(t) \cos 7t$$

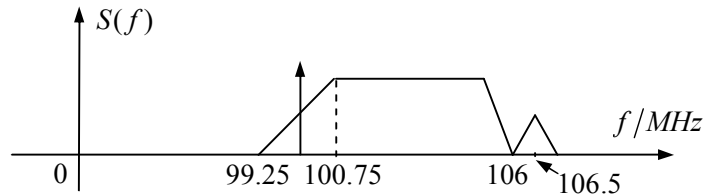
$$(2) Y(s) = H(s)X(s) = \frac{1}{s^2 + 3s + 2} \cdot \frac{1}{s} = \frac{1}{2} \frac{1}{s} + \frac{-1}{s+1} + \frac{1}{2} \frac{1}{s+2}$$

$$\therefore y(t) = \left( \frac{1}{2} - e^{-t} + \frac{1}{2} e^{-2t} \right) u(t)$$

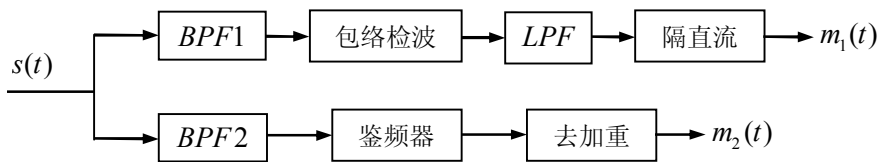
四、

$$(1) P[m(t) < -1] = \frac{1}{2} \operatorname{erfc} \sqrt{\frac{1}{2\sigma^2}} \leq p, \therefore \sigma^2 \leq \frac{1}{2[\operatorname{erfc}^{-1}(2p)]^2}, \therefore \sigma \text{ 最大可取 } \frac{1}{\sqrt{2}\operatorname{erfc}^{-1}(2p)}$$

(2) (a) 信号  $s(t)$  的频谱图如下所示:



(b) 系统非相干解调框图如下, 其中  $BPF1$  的范围是  $99.25 \sim 106\text{MHz}$ ,  $BPF2$  的范围是  $106 \sim 107\text{MHz}$ 。LPF 的频率范围是  $0 \sim 6\text{MHz}$ 。



五、

$$(1) (a) y(t) = \sum_{n=-\infty}^{+\infty} a_n \delta(t - nT_b) * h(t) = \sum_{n=-\infty}^{+\infty} a_n h(t - nT_b)$$

$$\therefore a_n \text{ 独立等概取值为 } \pm 1, \therefore E[a_n] = 0, D[a_n] = 1$$

$$P_y(f) = \frac{1}{T_b} |H(f)|^2 = \frac{1}{T_b} |T_b \operatorname{sinc}^2(T_b f)|^2 = T_b \operatorname{sinc}^4(T_b f)$$

$$(b) y_n = y(nT_b + t_0) = \sum_{m=-\infty}^{+\infty} a_m h(nT_b + t_0 - mT_b) = \dots + a_{n-1} h(T_b + t_0) + a_n h(t_0) + a_{n+1} h(-T_b + t_0) + \dots$$

为使  $h(T_b + t_0) = h(-T_b + t_0) = 0$ , 得  $t_0 = 0$ 。

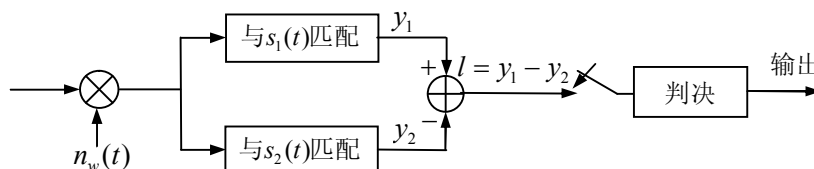
$$(c) \therefore h(nT_b) = \begin{cases} 1 & n = 0 \\ 0 & n \neq 0 \end{cases}, \therefore \text{该系统对码元速率为 } 1/T_b \text{ 的序列无码间干扰}$$

$$\text{即 } \bar{H}(f) = \sum_{n=-\infty}^{+\infty} H(f - \frac{n}{T_b}) = C, \therefore \frac{d\bar{H}(f)}{df} = 0$$

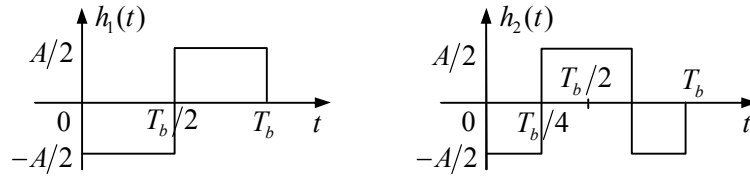
$$(d) t_0 = 0.1T_b \text{ 时, } y_n = a_n h(0.1T_b) + a_{n+1} h(-0.9T_b)$$

所以 ISI 的可能取值为  $-0.1$  和  $+0.1$ , 其概率各为  $0.5$ 。

(2) (a)



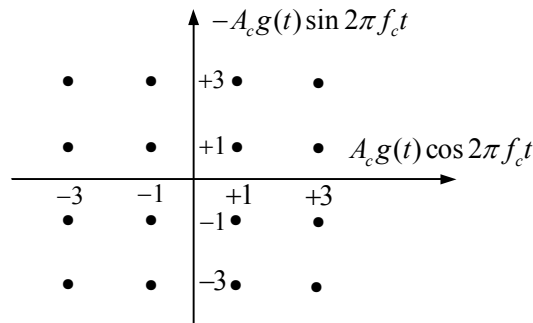
其中与  $s_1(t)$  匹配的系统函数记为  $h_1(t)$ ，与  $s_2(t)$  匹配的系统函数记为  $h_2(t)$ 。



(b)  $y_1 = \int_0^{T_b} [s_2(t) + n_w(t)] s_1(t) dt = Z_1$ ,  $y_2 = \int_0^{T_b} [s_2(t) + n_w(t)] s_2(t) dt = E_b + Z_2$ , 其中  $E_b = \frac{A^2 T_b}{4}$   
 $l = y_1 - y_2 = -E_b + Z_1 - Z_2$ , 其中  $E[Z_1 - Z_2] = 0$ ,  $D[Z_1 - Z_2] = E[Z_1^2] - 2E[Z_1 Z_2] + E[Z_2^2]$   
 其中  $E[Z_1^2] = E \int_0^{T_b} \int_0^{T_b} n_w(t_1) s_1(t_1) n_w(t_2) s_1(t_2) dt_1 dt_2 = \frac{N_0}{2} \int_0^{T_b} s_1^2(t) dt = \frac{N_0 E_b}{2}$ ,  $E[Z_2^2] = \frac{N_0 E_b}{2}$   
 $E[Z_1 Z_2] = E \int_0^{T_b} \int_0^{T_b} n_w(t_1) s_1(t_1) n_w(t_2) s_2(t_2) dt_1 dt_2 = \frac{N_0}{2} \int_0^{T_b} s_1(t) s_2(t) dt = 0$   
 $\therefore E[l | s_2] = -E_b$ ,  $D[l | s_2] = D[Z_1 - Z_2] = 2\sigma^2 = N_0 E_b$   
 $\therefore p(l | s_2) \sim N(-E_b, N_0 E_b)$   
 $\therefore p(e | s_2) = p(l > 0 | s_2) = \frac{1}{2} \operatorname{erfc} \sqrt{\frac{E_b}{2N_0}} = \frac{1}{2} \operatorname{erfc} \sqrt{\frac{A^2 T_b}{8N_0}}$

六、

(1) 星座图如下所示：



(2) A 点为一独立等概取值于  $\{-3, -1, +1, +3\}$  的四进制序列，设为  $a_n$ ，则：

$E[a_n] = 0$ ,  $D[a_n] = E[a_n^2] = \frac{1}{4} [3^2 + 1^2 + 1^2 + 3^2] = 5$ ,  $1/T_s = 4M$

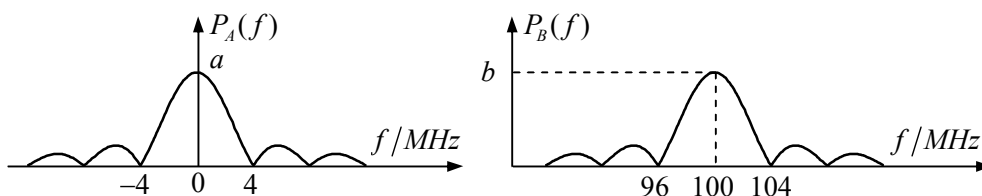
$\therefore P_A(f) = \frac{5}{T_s} |G(f)|^2 = \frac{5}{T_s} |T_s \operatorname{sinc}(fT_s) e^{-j\pi fT_s}|^2 = 5T_s \operatorname{sinc}^2(fT_s)$

设 A 点信号与载波相乘后的输出点为 C 点，则：

$P_c(f) = \frac{A_c^2}{4} [P_A(f - f_c) + P_A(f + f_c)] = \frac{5A_c^2 T_s}{4} \{ \operatorname{sinc}^2[(f - f_c)T_s] + \operatorname{sinc}^2[(f + f_c)T_s] \}$

$\therefore$  上支路与下支路相互正交， $\therefore P_B(f) = 2P_c(f) = \frac{5A_c^2 T_s}{2} \{ \operatorname{sinc}^2[(f - f_c)T_s] + \operatorname{sinc}^2[(f + f_c)T_s] \}$

A、B 两点的功率谱密度如下所示，其中  $a = 5T_s$ ,  $b = \frac{5A_c^2 T_s}{2}$ 。





(3)  $s_k(t) = b_{c,k} A_c g(t) \cos 2\pi f_c t - b_{s,k} A_c g(t) \sin 2\pi f_c t$

(a)  $r_1 = \int_0^{T_s} r(t) \cdot 2 \cos 2\pi f_c t dt = \int_0^{T_s} 2b_{c,k} A_c g(t) \cos^2 2\pi f_c t dt + Z_1 = b_{c,k} A_c T_s + Z_1$

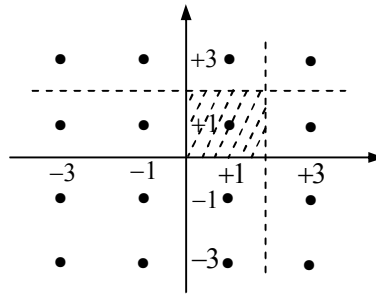
$r_2 = \int_0^{T_s} r(t) \cdot (-2) \sin 2\pi f_c t dt = \int_0^{T_s} 2b_{s,k} A_c g(t) \sin^2 2\pi f_c t dt + Z_2 = b_{s,k} A_c T_s + Z_2$

其中  $Z_1 = \int_0^{T_s} n_w(t) \cdot 2 \cos 2\pi f_c t dt$ ,  $Z_2 = \int_0^{T_s} n_w(t) \cdot (-2) \sin 2\pi f_c t dt$

且  $E[Z_1] = E[Z_2] = 0$ ,  $D[Z_1] = D[Z_2] = \frac{N_0}{2} \int_0^{T_s} (2 \cos 2\pi f_c t)^2 dt = N_0 T_s$

$\therefore E[r_1 | s_k] = b_{c,k} A_c T_s$ ,  $E[r_2 | s_k] = b_{s,k} A_c T_s$ ,  $D[r_1 | s_k] = D[r_2 | s_k] = N_0 T_s$

(b) 下图中两条虚线与两坐标轴所围区域即为  $r(+1, +1)$  的判决域。



(c) 两个支路可以看成两个相互独立的 4ASK 调制，上支路判错的概率为：

$$P(e_1 | s_1) = P(r_1 < 0 | s_1) + P(r_1 > 2 | s_1) = \frac{1}{2} \operatorname{erfc} \sqrt{\frac{(A_c T_s)^2}{2N_0 T_s}} + \frac{1}{2} \operatorname{erfc} \sqrt{\frac{(A_c T_s)^2}{2N_0 T_s}} = \operatorname{erfc} \sqrt{\frac{A_c^2 T_s}{2N_0}} = p$$

同理下支路判错的概率为： $P(e_2 | s_1) = \operatorname{erfc} \sqrt{\frac{A_c^2 T_s}{2N_0}} = p$

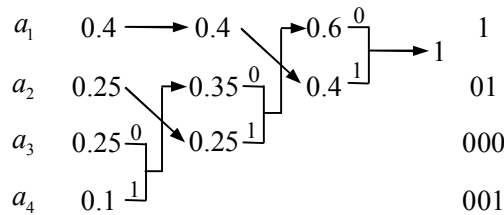
所以总的判错概率为： $P(e | s_1) = 1 - (1 - p)(1 - p) = 2p - p^2$

七、

(1) (a) 理想编码后平均码长即为信源的信息熵

$$\begin{aligned} H(x) &= 0.4 \log_2 \frac{10}{4} + 0.25 \log_2 4 + 0.25 \log_2 4 + 0.1 \log_2 10 \\ &= 0.4 \log_2 10 - 0.4 \times 2 + 0.25 \times 2 + 0.25 \times 2 + 0.1 \log_2 10 \\ &= 0.2 + 0.5 \log_2 10 = 0.2 + 0.5 \times 0.33 = 1.87 \text{ bit/symbol} \end{aligned}$$

(b)



平均码长  $\bar{R} = 0.4 \times 1 + 0.25 \times 2 + 0.25 \times 3 + 0.1 \times 3 = 1.95 \text{ bit/symbol}$

(2) 设量化级数为  $M$ ，则  $M^2 = 42 \text{ dB} \approx 16384 = 2^{14}$

$\therefore$  每个样值编码长度为 7。考虑到每个样值要加入一位帧同步信息，所以每次抽样编码为 15 位。

设最高频率为  $f_H$ ，则 QPSK 符号速率为  $R_s = f_H \times 2 \times 15 / 2 = 15 f_H$

$$\text{由 } \frac{R_s}{W} = \frac{1}{1+\alpha} \text{ 得 } \frac{15f_H}{90K} = \frac{1}{1+0.5}, \therefore f_H = 4KHz$$

八、

$$(1) P(Y=0) = P(0) \times (1-p) + P(1) \times p, \quad P(Y=1) = P(0) \times p + P(1) \times (1-p)$$

$$H(Y) = -P(Y=0) \log_2 P(Y=0) - P(Y=1) \log_2 P(Y=1)$$

$$(2) H(Y|X) = P(0)H(Y|0) + P(1)H(Y|1) = [P(0) + P(1)]H(p, 1-p) = -p \log_2 p - (1-p) \log_2 (1-p)$$

$$(3) \text{ 当 } P(0) = P(1), \quad P(Y=0) = P(Y=1) = 1/2$$

$$I(X;Y) = H(Y) - H(Y|X) = 1 + p \log_2 p + (1-p) \log_2 (1-p)$$

九、

(1) (a)

$$G = \begin{pmatrix} 1 & 0 & 0 & 0 & 1 & 1 & 0 \\ 0 & 1 & 0 & 0 & 1 & 1 & 1 \\ 0 & 0 & 1 & 0 & 1 & 0 & 1 \\ 0 & 0 & 0 & 1 & 0 & 1 & 1 \end{pmatrix}$$

(b)

$$H = \begin{pmatrix} 1 & 1 & 1 & 0 & 1 & 0 & 0 \\ 1 & 1 & 0 & 1 & 0 & 1 & 0 \\ 0 & 1 & 1 & 1 & 0 & 0 & 1 \end{pmatrix}$$

$$(c) yH^T = (0 \ 0 \ 1), \therefore \text{错误图样 } e = (0 \ 0 \ 0 \ 0 \ 0 \ 0 \ 1)$$

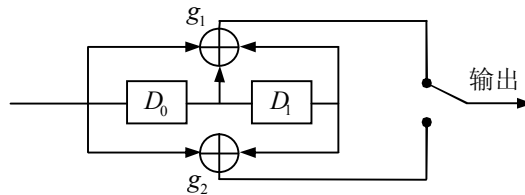
$$\therefore \text{译码结果 } \hat{y} = (1 \ 1 \ 0 \ 1 \ 0 \ 1 \ 0)$$

$$(2) u(x) = x^{10} + x^7 + x^4 + x, \quad c(x) = u(x)x^4 + [u(x)x^4]_{\text{mod } g(x)} = x^{14} + x^{11} + x^8 + x^5 + x^2$$

$$\therefore c = (10010010010 \ 0100)$$

(3) 由图可知从 00 状态回到 00 状态的最短路径为 00 → 10 → 01 → 00，输出的序列为 111011

∴  $g_1 = 111, \quad g_2 = 101$ ，编码器结构图如下所示：



十、

$$(1) (a) f(x) = 1 + x^3 + x^4$$

(b) 由图可知， $a_k = a_{k-3} + a_{k-4}$ ，可以推得输出序列为 100010011010111...

$$(2) (a) y(T_b) = \int_0^{T_b} 2d_0 c^2(t) \cos^2 2\pi f_c t dt + \int_0^{T_b} 2n_w(t)c(t) \cos 2\pi f_c t dt = 2d_0 E_b + Z$$

其中： $E_b = T_b/2, \quad E[Z] = 0, \quad D[Z] = 2N_0 E_b$

$$\therefore r = \frac{[2d_0 E_b]^2}{2N_0 E_b} = \frac{2E_b}{N_0}$$

(b) 由上述推导可知，推导结果只与  $E_b$  和  $N_0$  有关

$$\therefore \text{当 } c(t) = 1 \text{ 时, } r = \frac{2E_b}{N_0}$$